

ΑΣΤΡΟΝΟΜΙΑ.— 'Η μεταβολὴ τῆς ἄμεσης ἡλιακῆς ἀκτινοβολίας κατὰ τὴν δακτυλιοειδῆ ἔκλειψη τοῦ Ἡλίου 29ης Ἀπριλίου 1976, ὑπὸ *J. Δελιγιάννη - D. Παπαθανάσογλου - M. Σταθοπούλου - Τσόγκα *.¹ Ανεκοινώθη ὑπὸ τοῦ Ἀκαδημαϊκοῦ κ. Ἰω. Ξανθάκη.

Ε Ι Σ Α Γ Ω Γ Η

'Η κεντρικὴ γραμμὴ τῆς δακτυλιοειδοῦς ἔκλειψεως τοῦ Ἡλίου τῆς 29ης Ἀπριλίου 1976, περνοῦσε ἀπὸ δύο νησιὰ τοῦ Αἰγαίου Ἀρχιπελάγους, τὴν Θήρα καὶ τὴν Κῶ. Τὸ Ἐργαστήριο Ἀστρονομίας τοῦ Πανεπιστημίου Ἀθηνῶν πραγματοποίησε δύο ἀποστολὲς στὰ νησιὰ αὐτά. 'Η ἐργασία αὐτὴ βασίζεται σε φωτομετρικὲς παρατηρήσεις ποὺ ἔγιναν στὴν Θήρα ($N: 36^{\circ} 25'$, $E: 25^{\circ} 26'$) ὅπου τὸ μέγεθος τῆς ἔκλειψεως ἦταν 0,94.

Βασικὸς σκοπὸς τῶν παρατηρήσεων αὐτῶν ἦταν ἡ μελέτη τοῦ φαινομένου τῆς ἐλαττώσεως τῆς ἄμεσης ἡλιακῆς ἀκτινοβολίας μετὰ τὸ τέλος τῆς ἔκλειψεως. Τοῦτο εἶχε παρατηρηθῆ στὴν μερικὴ ἔκλειψη τῆς 25ης Φεβρουαρίου 1952 (Abbot, 1953), ἐνῷ ἀντιθέτως, στὴν μερικὴ ἔκλειψη τῆς 30ῆς Ιουνίου 1954 δὲν εἶχε παρατηρηθῆ (L. Carapiperis & Ph. Karapiperis, 1959).

ΤΕΧΝΙΚΗ ΚΑΙ ΑΠΟΤΕΛΕΣΜΑΤΑ ΤΗΣ ΠΑΡΑΤΗΡΗΣΕΩΣ

Τὸ φωτόμετρο ποὺ χρησιμοποιήθηκε, κατασκευάσθηκε εἰδικά γιά τὸν σκοπὸν αὐτὸν στὸ Ἐργαστήριο Ἀστρονομίας, καὶ λειτουργοῦσε σὲ τρεῖς φασματικὲς περιοχές. 'Η ἀπομόνωση κάθε φασματικῆς περιοχῆς γινόταν μὲ τὸν συνδυασμὸν μιᾶς φωτοαντιστάσεως καὶ ἐνὸς ἐγχρώμου ἥθμου wratten. Οἱ περιοχὲς αὗτες δίνονται στὸν πίνακα 1, ὅπου μὲ λόγον μεγίστης κύματος μεγίστης εὑναισθησίας.

Οἱ φωτοαντιστάσεις με τὴν βοήθεια διαφραγμάτων ἐπαιροναν φῶς ἀπὸ γωνία περίπου 3° . 'Η φωτομετρικὴ κεφαλὴ ἦταν στερεωμένη σε ἰσημερινὸ στήριγμα, ἔτσι ὥστε οἱ φωτοαντιστάσεις νὰ δέχωνται κάθετα τὸ φῶς τοῦ Ἡλίου. Το δργανό τέλος συνδεόταν μὲ καταγραφέα.

* J. DELIYANNIS - D. PAPATHANASOGLOU - M. STATHOPOULOU - TSOGA, On the variation of the direct Solar radiation during the annular solar eclipse of April 29, 1976.

Π Ι Ν Α Ξ 1

| *Υπέρυθρη | *Ερυθρή | Κυανή |
|-----------------------------|------------------------------|-----------------------------|
| 900 740 nm | 740 — 600 nm | 490 — 410 nm |
| λ_{φ} 800 nm | λ_{φ} — 680 nm | λ_{φ} 450 nm |
| συν την υπέρυθρη περιοχή | | σύν την υπέρυθρη περιοχή |

*Ιδιαίτερη προσοχή είχε δοθῆ γιὰ τὴν σταθερότητα τῆς τάσεως τροφοδοσίας. *Υπῆρχε ἐπίσης σύστημα ψύξεως γιὰ νὰ διατηρηται σταθερὴ ἡ θερμοκρασία τῶν φωτοαντιστάσεων, ὁ ἔλεγχος τῆς ὀποίας γινόταν μὲ τὴν βοήθεια ἑνὸς θερμίστορ. Γιὰ νὰ ἀποφευχθῇ ἐξ ἄλλου ἡ κόπωση τῶν φωτοαντιστάσεων, οἱ μετρήσεις γίνονταν σὲ ἀραιά, σχετικά, χρονικὰ διαστήματα καὶ τὶς ἔδιες κατὰ προσέγγιση ὥρες κατὰ τὴν ἔκλειψη καὶ κατὰ τὴν προηγούμενη ἡμέρα συγκρίσεως.

*Η βαθμολογία τοῦ φωτομέτρου ἔγινε μὲ συνθῆκες ὅμοιες κατὰ τὸ δυνατὸν με τὶς συνθῆκες παρατηρήσεως. Σὰν φωτεινὴ πηγὴ χρησιμοποιήθηκε λυχνία χαλαζίου - ιωδίου, ἡ ὀποία σε συνδυασμὸν μὲ κυανὸν ἡμέρα, ἔδινε φῶς θερμοκρασίας χρώματος 5.400 K. *Η ἀκρίβεια τοῦ δργάνου κάτω ἀπὸ ἐργαστηριακὲς συνθῆκες ὅμοιες κατὰ τὸ δυνατὸν με τὴν ἡμέρα παρατηρήσεως, ἥταν $\sim 1\%$.

*Η ἐρυθρὴ καὶ ἡ κυανὴ φασματικὴ περιοχή, περιεῖχαν συγχρόνως καὶ τὴν ὑπέρυθρη περιοχὴ (πίνακας 1).

*Ο διαχωρισμὸς τῆς ἐρυθρῆς καὶ τῆς κυανῆς ἀπὸ τὴν ὑπέρυθρη περιοχὴ ἔγινε με τὴν παρακάτω μέθοδο :

Θεωροῦμε σαν μονάδα τὴν τιμὴ τῆς ἐντάσεως καθενὸς χρώματος, ἔστω π.χ. τοῦ κυανοῦ ($I_{B,T}$) τῆς προηγούμενης ἡμέρας καὶ τῆς χρονικῆς στιγμῆς ποὺ ἀντιστοιχεῖ στὸ μεγιστὸ τῆς ἔκλειψεως

*Αναζητοῦμε τὴν συνάρτηση

$$\Pi_B(t) = \frac{I_B}{I_{B,T}} \quad (1)$$

ποὺ παριστάνει τὴν σχετικὴ μεταβολὴ τῆς ἐντάσεως τοῦ κυανοῦ (χωρὶς ὑπέρυθρο) κατὰ τὴν διάρκεια μιᾶς ἡμέρας, ὅπου I_B ἡ τιμὴ τῆς ἐντάσεως τοῦ κυανοῦ σε χρόνο t

‘Η συνάρτηση αυτή είναι αργωστη, άφοῦ ή κυανή περιοχή περιέχει καὶ τὴν υπέρυθρη (IR).’ Αντὶ αυτῆς γνωρίζουμε τὴν συνάρτηση

$$\psi(t) = \frac{I_B + I_{IR}}{I_{B,T} + I_{IR,T}} \quad (2)$$

$$\text{καθὼς καὶ τὴν} \quad \varphi(t) = I_{IR} / I_{B,T} \quad (3)$$

οἵ δύοις προκύπτουν ἀμεσα ἀπὸ τὰ δεδομένα τῶν παρατηρήσεων.

Ἐάν λάβουμε ύποθετικά τῶν μέσων ἐντάσεων τῆς κυανῆς πρὸς τὴν IR περιοχή τοῦ ήλιακοῦ φωτὸς ποὺ φθάνει στὴν ἐπιφάνεια τῆς Γῆς, είναι γνωστή (E. Pettit, 1951), ἀν δηλαδή :

$$I_{B,T}/I_{IR,T} = K \quad (4)$$

τότε ἀπὸ τὴν (2) καὶ τὴν (4) ἔχουμε :

$$\psi(t) = \frac{I_B + I_{IR}}{I_{IR,T} + K \cdot I_{B,T}}$$

καὶ ἀπὸ τὴν (3)

$$\varphi(t) = \frac{\varphi(t)}{K+1} + \frac{K}{(K+1)} \cdot \frac{I_B}{I_{B,T}} \quad (5)$$

Μὲ βάση τὴν (5) βρίσκεται ὅτι ή ζητούμενη συνάρτηση (1) είναι :

$$\Pi_B(t) = \left(\frac{K+1}{K} \right) \cdot \psi(t) - \frac{\varphi(t)}{K} \quad (6)$$

‘Η συνάρτηση αυτή υπολογίσθηκε γιὰ τὴν ήμέρα τῆς ἐκλείψεως (Π_B) καθώς καὶ γιὰ τὴν ήμέρα συγκρίσεως (Π'_B).

Σὰν ήμέρα συγκρίσεως χρησίμευσε ἡ προηγουμένη τῆς ἐκλείψεως, κατὰ τὴν δύοις οἷς καιρικες συνθῆκες ἥσαν δύοις με τὴν ήμέρα τῆς ἐκλείψεως (Retalis, 1976).

‘Απὸ τὴν (1) προκύπτει ὅτι

$$\Pi_B/\Pi'_B = I_B/I_{B,T} \quad (7)$$

ἄρα ὁ λόγος Π_B/Π'_B είναι ἵσος πρὸς τὸν λόγο τῶν χρονικὰ ἀντιστοίχων ἐντάσεων ἐνὸς χρώματος κατὰ τὴν ήμέρα τῆς ἐκλείψεως πρὸς τὴν ήμέρα συγκρίσεως

Οἱ καμπύλες τῶν σχημάτων 1, 2 καὶ 3, παριστάνονταν τὴ μεταβολὴ τοῦ λόγου I/I (κυαλικά σύμβολα) που παρατηρήθηκε γιὰ κάθε μία φασματικὴ πε-

φιοχή. Πάνω στὰ ᾧδια σχήματα ἀπεικονίζεται (τρύγωνα σύμβολα) ἡ μεταβολὴ τοῦ ἀκαλύπτου ἐμβαδοῦ τοῦ ἥλιακοῦ δίσκου κατὰ τὴν διάρκεια τῆς ἐκλείψεως (γεωμετρικὴ ἐκλειψη), ἡ ὅποια εἶναι προφανῶς ἀνεξάρτητη τοῦ χρώματος τοῦ φωτός. Κατὰ τὸν ᾧδιο τρόπο ἀπεικονίζεται (τετράγωνα σύμβολα) ἡ μεταβολὴ τῆς ἥλιακῆς ἀκτινοβολίας ποὺ ὑπολογίσθηκε γιὰ κάθε φασματικὴ περιοχή, μὲ βάση τὰ δεδομένα τῆς ἀμαυρώσεως τοῦ χείλους τοῦ Ἡλίου (Allen, 1973).

Στὸ σχ. 4 παρουσιάζονται μαζὶ οἱ πειραματικὲς καμπύλες τῶν τριῶν χρωμάτων γιὰ εὔκολη σύγκριση.

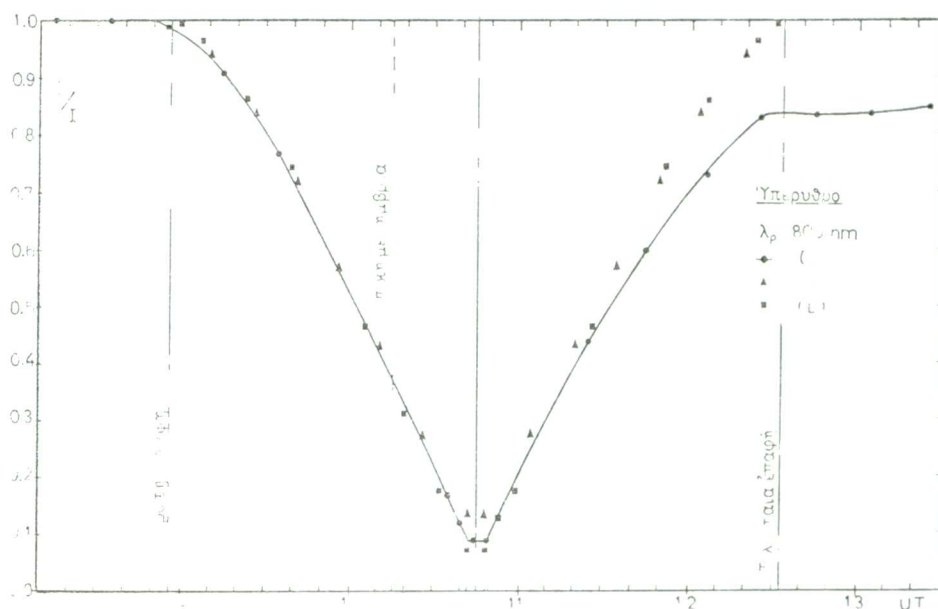
ΣΥΜΠΕΡΑΣΜΑΤΑ ΚΛΙ ΣΧΟΛΙΑ

1. Ἀπὸ τὰ σχήματα 1, 2 καὶ 3, παρατηροῦμε ὅτι ἡ ἐλάττωση τοῦ φωτὸς ἀρχίζει 10 περίπου λεπτὰ πρὸ τὴν πρώτη ἐπαφή. Τοῦτο πιθανὸν διφεύλεται στὴν εἰσόδο τῆς σκιᾶς τῆς Σελήνης στὸ πεδίο τοῦ φωτομέτρου ($\sim 3^\circ$), τὸ δόποιο εἶναι σαφῶς μεγαλύτερο τοῦ δίσκου τοῦ Ἡλίου, μὲ ἀποτέλεσμα τὸ ὅργανο νὰ δέχεται μικρότερο ποσοστὸ διαχύτου φωτὸς τοῦ οὐρανοῦ (Abbott, 1958).

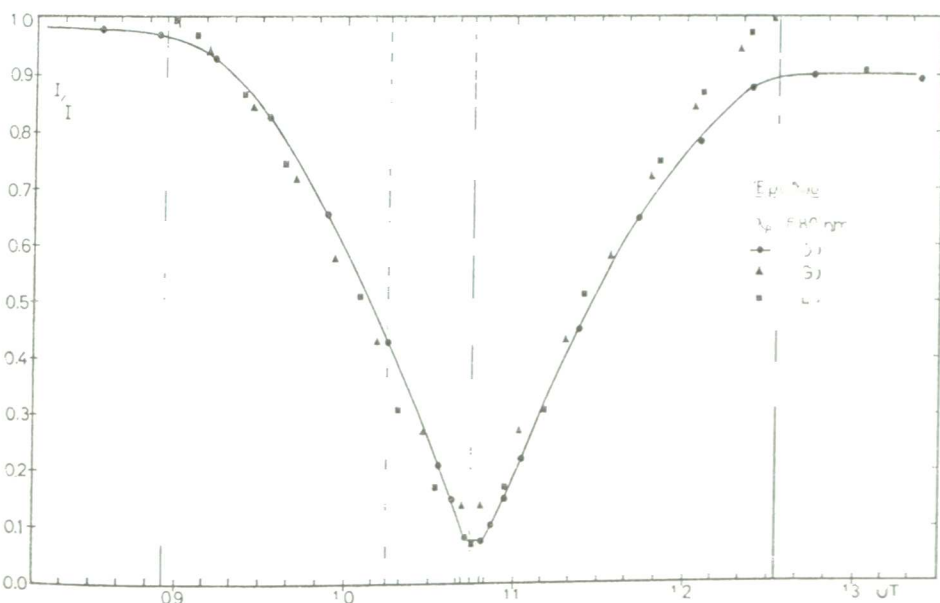
2. Οἱ τιμὲς ποὺ ὑπολογίσθηκαν ἀπὸ τὴν ἀμαύρωση τοῦ χείλους, συμφωνοῦν ἵκανοποιητικὰ με τὶς πειραματικὲς καμπύλες στὸ μέγιστο τοῦ φαινομένου, καθὼς καὶ στὸν κατερχόμενο κλάδο. Ἐξαίρεση παρουσιάζεται μόνον στὸν κατερχόμενο κλάδο τοῦ κυανοῦ χρώματος (σχ. 3), ἡ ὅποια πιθανὸν νὰ διφεύλεται σὲ μιὰ μικρὴ μεταβολὴ τῆς διαύγειας τῆς ἀτιοσφαίρας ποὺ ἐλάχιστα ἐπέδρασε στὸ ἐρυθρὸ (σχ. 2) καὶ καθόλου στὸ ὑπέρουθρο (σχ. 1), σύμφωνα μὲ τοὺς νόμους τῆς διαχύσεως τοῦ φωτὸς στὴν ἀτιοσφαιριὰ τῶν Rayleigh καὶ Mie.

3. Οἱ τιμὲς τῆς γεωμετρικῆς ἐπικαλύψεως συμφωνοῦν μὲ αὐτὲς ποὺ ὑπολογίσθηκαν ἀπὸ τὴν ἀμαύρωση τοῦ χείλους, μέχρι περίπου τὴν κάλυψη τοῦ 0,6 τῆς διαμετροῦ τοῦ Ἡλίου (σχ. 1, 2 καὶ 3). Μετά οἱ τιμὲς τῆς γεωμετρικῆς ἐπικαλύψεως παρουσιάζονται διαρκῶς μεγαλύτερες (μέγεθος ἐκλείψεως μικρότερο), μέχρι τὴ μέση τοῦ φαινομένου. Στὸν ἀνερχόμενο κλάδο ἐπαναλαμβάνεται προφανῶς τὸ ᾧδιο, συμμετρικά

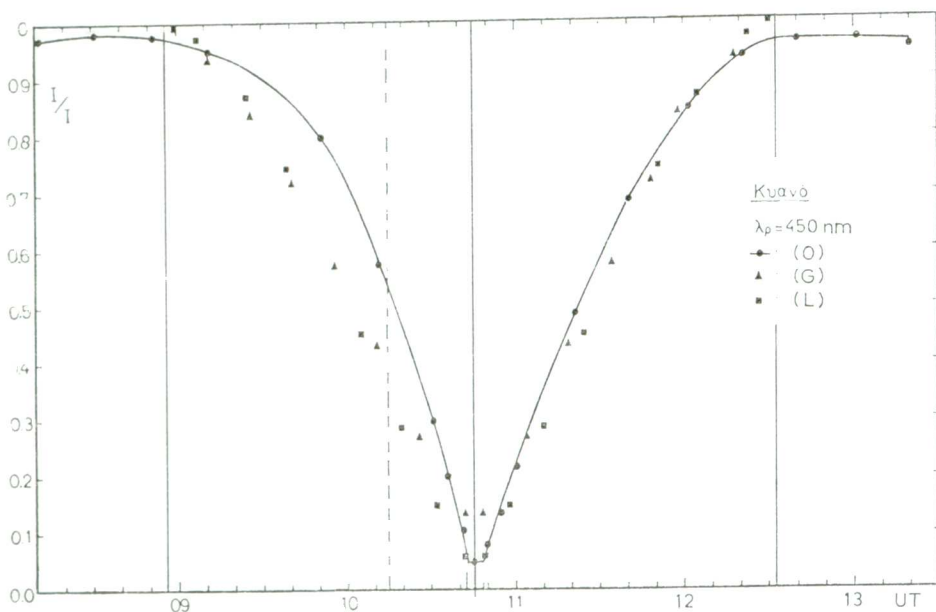
4. Το ἐλάχιστο τῆς πειραματικῆς καμπύλης σε κάθε χρῶμα, βρίσκεται καμηλότερα ἀπὸ τὸ ἀντιστοιχὸ ἐλάχιστο τῆς γεωμετρικῆς ἐκλείψεως (σχ. 1, 2 καὶ 3). Ἀρα τὸ μέγεθος τῆς πραγματικῆς ἐκλείψεως εἶναι μεγαλύτερο τῆς γεωμετρικῆς, πρᾶγμα ποὺ διφεύλεται στὴν ἀμαύρωση τοῦ χείλους τοῦ Ἡλίου, ὅπως προκύπτει ἀπὸ τὸ συμπέρασμα (2)



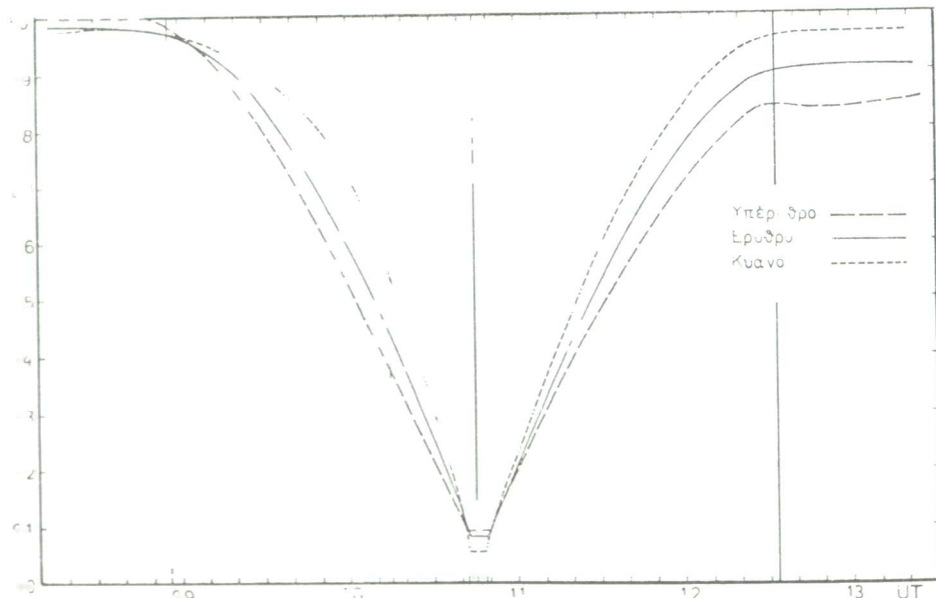
Σχ. 1. Η καμπύλη φωτός της έκλειψεως στο ύπερυψθρο. (O) : Δεδομένα παρατηρήσεως. (G) : Ποσοστό έπικαλύψεως (L) : Θεωρητική έκλειψη με βάση την άμιαύρωση χειλούς



Σχ. 2. Η καμπύλη φωτός της έκλειψεως στο έργο



Σχ. 3. Η καμπύλη φωτός τής έκλειψεως στὸ κυανό.



Σχ. 4 Οι καμπύλες φωτός τής έκλειψεως στὶς τρεῖς φασματικές περιοχές, σύμφωνα μὲ τὰ δεδομένα τῆς παρατηρήσεως.

5. Ό άνερχόμενος κλάδος της καμπύλης παρουσιάζει συστηματική άποκλιση άπό τις υπολογιστικές τιμές στὸ ὑπέρυθρο καὶ στὸ ἐρυθρό, καὶ τὸ φῶς μετὰ τὸ τέλος τῆς ἔκλείψεως δὲν ἐπανέρχεται στὸ ἐπίπεδο τῆς προηγούμενης ήμερας (σχ. 1 καὶ 2). Οἱ παρατηρήσεις μας στὸ σημεῖο αὐτὸ συμφωνοῦν μὲ τὶς παρατηρήσεις τῆς μερικῆς ἔκλείψεως τοῦ 1952 (Abbot, 1958). Ἐπίσης συμφωνοῦν μὲ ἀνάλογες πρὸς τὶς δικές μας ἄλλ' ἀνεξάρτητες παρατηρήσεις, ποὺ ἔγιναν τὴν ἵδια μέρα καὶ ἀπὸ τὸν ὕδιο τόπο (Retalis, 1976). Ἀντίθετα τὸ φαινόμενο τῆς ἐλαττώσεως τῆς ἡλιακῆς ἀκτινοβολίας μετὰ τὴν ἔκλειψη, δὲν παρατηρήθηκε στὴν μερικὴ ἔκλειψη τοῦ 1954 (L. Carapiperis & Ph. Karapiperis, 1959), οὔτε καὶ στὴν Ἀθήνα τὴν 29η Ἀπριλίου 1976, ὅπου ἡ ἔκλειψη ἦταν μερική (Katsoulis, 1976).

6. Τὸ φαινόμενο τῆς ἐλαττώσεως τοῦ φωτὸς μετὰ τὴν ἔκλειψη εἶναι ἐντονώτερο στὸ ὑπέρυθρο καὶ μόλις αἰσθητὸ στὸ κυανὸ χρῶμα (σχ. 4). Ἀμεση σύγκριση στὸ σημεῖο αὐτὸ μὲ τὸ ἀποτελέσματα τῶν ἐργασιῶν ποὺ προαναφέραμε δὲν εἶναι δυνατή, γιατὶ οἱ φασματικὲς περιοχὲς ποὺ χρησιμοποιήθηκαν ἀπὸ τοὺς ἄλλους παρατηρητὲς εἶχαν σημαντικὴ ἐπικάλυψη μεταξύ τους. Παρατηρεῖται ὅμως καὶ στὶς μετρήσεις αὐτές (Retalis, 1976) μεγαλύτερη ἐλάττωση στὸ ἐρυθρὸ φῶς Ἐπίσης στὶς μετρήσεις τοῦ φωτὸς τοῦ ζενίθ ποὺ ἔγιναν κατὰ τὴν ἔκλειψη τοῦ 1976 καὶ ἀπὸ τὸν ὕδιο τόπο μὲ τὶς δικές μας (Macris & Zachariadis, 1977, Prockakis & Dialetis, 1977), παρατηρεῖται σαφὴς αὔξηση στὸ ἐρυθρὸ μετὰ τὴν ἔκλειψη, μικρότερη αὐξῆση στὸ πράσινο καὶ καμμιὰ στὸ κυανό. Τοῦτο συμφωνεῖ ἔμμεσα μὲ τὶς παρατηρήσεις μας, γιατὶ μεγαλύτερη διάχυση στὸ ἐρυθρὸ φῶς, σημαίνει μεγαλύτερη ἔξασθμένησή του.

Τὸ φαινόμενο τῆς ἐλαττώσεως τοῦ φωτὸς μετὰ τὴν ἔκλειψη, θὰ μποροῦσε νὰ ἀποδοθῇ στὴν αὔξηση τῆς συμπυκνώσεως τῶν ὑδροατμῶν τῆς ἀτμόσφαιρας. Τοῦτο φαίνεται πιθανὸ ἐκ πρώτης ὅψεως, διότι κατὰ τὴν ἔκλειψη πέφτει ἡ θερμοκρασία καὶ εἶναι δυνατὸ νὰ δημιουργηθῇ ἀχλὺς ἀπὸ ὑδροσταγονίδια Ἀλλὰ ἡ ἔξηγηση αὐτὴ δὲν συμβιβάζεται με τὸ συμπέρασμα (6). Διότι ἡ διάχυση τοῦ φωτὸς ἀπὸ τα ὑδροσταγονίδια εἶναι ἀνάλογη τοῦ λ¹ (Bullrich et al., 1952) καὶ ἔτσι θὰ ἔπειπε τὸ ὑπέρυθρο νὰ ἔχῃ τὴν μικρότερη ἐλάττωση, ἐνῶ συμβαίνει τὸ ἀντίθετο.

Πιθανὴ αἰτία τοῦ φαινομένου αὐτοῦ εἶναι ἡ μεταβολὴ στὴ σύνθεση τῆς ἀνώτερης ἀτμόσφαιρας ποὺ συμβαίνει κατὰ τὴν ἔκλειψη (Abbot, 1958) καὶ ἡ δποία ἀρχίζει νὰ ἔκδηλωνται μετὰ τὴν μέση τῆς ἔκλειψεως (σχ. 1 καὶ 2). Ό λόγος γιὰ τὸν διποῖο δὲν παρατηρεῖται πάντοτε τὸ φαινόμενο αὐτό, εἶναι, πιθανόν, ἡ ἐπικάλυψη του ἀπὸ ἄλλα μετεωρολογικὰ φαινόμενα

Γιὰ τὴν ἔξαγωγὴν ἀσφαλῶν συμπερασμάτων, ἀπαιτοῦνται περισσότερες καὶ λεπτομερέστερες φωτομετρικὲς καὶ μετεωρολογικὲς παρατηρήσεις σὲ μελλοντικὲς ἐκλείψεις.

S U M M A R Y

The Laboratory of Astronomy of the University of Athens, organized an expedition to Thera (Santorini) island of the Aegean Archipelago, on the central line of the eclipse.

The main object of the expedition was the investigation of the decrease of the solar radiation after the last contact. This phenomenon had been reported for the partial eclipse of Feb. 25, 1952 (Abbot, 1953), while at the partial eclipse of June 30, 1954 no decrease was observed (Carapiperis L. and Karapiperis Ph., 1959).

Our photometric observations were carried out in three spectral regions (table 1) by a photometer having a field angle of about 3^0 . The results are presented (fig. 1, 2, 3) as the ratio of the intensity on the day of the eclipse, to the intensity of the previous day. Fig. 1, 2 and 3 also show the percentage of the uncovered solar surface (triangle dots), and the theoretical eclipse, computed by using the limb darkening data (square dots).

We conclude that the decrease of the light after the last contact does exist; it is strongest in the IR and very small in the blue.

This phenomenon may be attributed to the formation of invisible condensations in the high atmosphere (Abbot, 1958).

It would be of interest to check this phenomenon by more detailed photometric and meteorological observations during future eclipses.

B I B L I O G R A F I A

W N Abbot Astr J, **58** 33, 1953

——— Geofisica Pura e Applicata **39**, 186, 1958.

C W Allen, Astrophysical Quantities. The Athlone Press, 1973.

K Bullrich - E Bary - F Möller, Geofisica Pura e Applicata, **23**, 37, 1952

- L. N. Carapiperis and Ph. P. Karapiperis, *Geofisica Pura e Applicata*, **43**, 323, 1959.
- B. D. Katsoulis, *Memoirs of the National Observatory of Athens, Series II*, No 44, 1976.
- C. J. Macris and Th. G. Zachariadis, *Praktika of the Athens Academy*, **52**, 343, 1977.
- E. Pettit, in «*Astrophysics*», ed. J. A. Hynek, p. 259. McGraw-Hill Book Company, 1951.
- Th. Prokakis and D. Dialetis, *Sol. Phys.*, **53**, 531, 1977.
- D. A. Retalis, *Memoirs of the National Observatory of Athens, Series II*, No 44, 1976.